

Simulações com uso de códigos de treliça e decodificação iterativa para o canal aditivo binário

Maria de Lourdes M.G. Alcoforado, Valdemar C. da Rocha Jr. e Garik Markarian

Resumo—Este artigo apresenta resultados de simulações computacionais para códigos de treliça sobre o canal aditivo para dois usuários binários, em presença de ruído branco gaussiano aditivo. São comparados os desempenhos de diferentes códigos de treliça com e sem o uso de decodificação iterativa.

Palavras-Chave—Acesso múltiplo, canal aditivo, códigos turbo.

Abstract—This paper presents simulation results for trellis codes over the two-user binary adder channel, in the presence of additive white Gaussian noise. The performance of different trellis codes is compared with and without iterative decoding.

Keywords—Multiple access, additive channel, turbo codes.

I. INTRODUÇÃO

Este artigo utiliza a decodificação iterativa [1], [2] em sistemas de comunicações que empregam canal de acesso múltiplo, isto é, um meio de transmissão no qual mais de um usuário pode acessá-lo simultaneamente, com a saída do canal sendo uma combinação dos sinais enviados pelos usuários ativos. Em particular, é dada ênfase ao caso em que dois usuários binários podem transmitir simultaneamente em um canal aditivo para um único receptor. Este canal é chamado de canal aditivo com dois usuários binários (2-BAC)[3]-[5].

São apresentadas simulações computacionais de sistemas codificados, em presença de ruído branco gaussiano aditivo, e utilizadas condições de decodibilidade única para códigos de treliça adaptados ao canal 2-BAC [6]-[7].

Na *Seção II* é descrito o conceito de treliça para dois usuários. Na *Seção III* descreve-se um esquema de codificação para obtenção de códigos unicamente decodificáveis para o 2-BAC. Este esquema consiste na concatenação em série de um par de códigos de bloco unicamente decodificáveis no 2-BAC com um par de códigos convolucionais sistemáticos [7], [8]. Na *Seção IV* são apresentados os resultados das simulações, nas quais os codificadores convolucionais utilizados pelos dois usuários podem ser idênticos ou distintos. Na *Seção V* são apresentadas as conclusões.

II. TRELIÇA PARA O 2-BAC

Nesta seção está descrita a construção de Peterson e Costello [9] de uma treliça para o 2-BAC, denominada *treliça para dois usuários*, a partir das treliças individuais de cada usuário.

Maria de Lourdes M.G. Alcoforado, Escola Politécnica de Pernambuco, Departamento de Engenharia Elétrica, 50750-470, Recife, PE, Brasil, Email: mlmga@upe.poli.br. Valdemar C. da Rocha Jr., Grupo de Pesquisa em Comunicações - CODEC, Departamento de Eletrônica e Sistemas, Universidade Federal de Pernambuco, Caixa Postal 7800, 50711-970, Recife, PE, Brasil, Email: vcr@ufpe.br. Garik Markarian, Institute of Integrated Information Systems, University of Leeds, LS2 9JT, England, Email: G.Markarian@leeds.ac.uk.

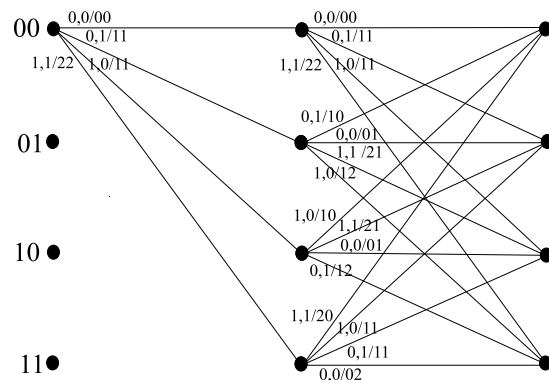


Fig. 1. Treliça para dois usuários binários em que, para cada usuário, é usado um mesmo código convolucionar com matriz geradora $G(D) = \begin{bmatrix} 1 & 1 \\ 1 & D \end{bmatrix}$. Os rótulos nos ramos $(u_k, d_k/x_1x_2)$ correspondem, respectivamente, ao par de símbolos de informação u_k, d_k dos usuários 1 e 2 e à saída x_1x_2 do 2-BAC sem ruído.

Deve-se supor que as treliças de cada usuário são iniciadas num mesmo instante de tempo e que são considerados pares de ramos (um ramo de cada treliça) que ocorrem em um mesmo intervalo de tempo. Ao estado $S_k = s_i$, na treliça do usuário 1, e ao estado $S'_k = s_r$, na treliça do usuário 2, associa-se na treliça para dois usuários o estado denotado por $s_i s_r$. Cada par de ramos, ocorrendo em um mesmo intervalo de tempo, nas respectivas treliças de cada um dos dois usuários, é associado a um único ramo na treliça para dois usuários. Dito de outra forma, se num dado intervalo de tempo o ramo correspondente ao usuário 1 segue do estado s_i para o estado s_j , e o ramo correspondente ao usuário 2 segue do estado s_r para o estado s_l , então na treliça para dois usuários corresponde um único ramo seguindo do estado $s_i s_r$ para o estado $s_j s_l$. Se a treliça de cada usuário tem, respectivamente, L_1 e L_2 estados, a treliça para dois usuários terá $L_1 L_2$ estados. O conceito de treliça para dois usuários é ilustrado por meio de um exemplo.

Exemplo 2.1: Supõe-se uma situação hipotética, apenas para ilustrar a construção da treliça para dois usuários, na qual um mesmo código convolucionar é usado por cada usuário do 2-BAC. Seja C o código convolucionar recursivo sistemático com taxa assintótica $1/2$ e matriz geradora polinomial:

$$G(D) = \begin{bmatrix} 1 & 1 \\ 1 & D \end{bmatrix} \quad (1)$$

Como o código tem apenas um elemento de memória, a treliça de cada usuário possui dois estados, i.e., $L_1 = L_2 = 2$, e a treliça para dois usuários terá $L_1 L_2 = 4$ estados como ilustrado na Figura 1.

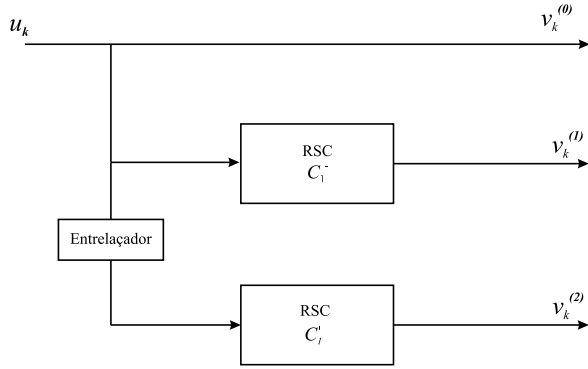
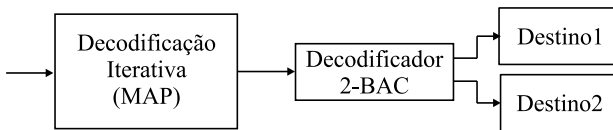

 Fig. 3. Esquema de concatenação paralela para o codificador de C_1 .


Fig. 4. O decodificador empregado utiliza a decodificação iterativa para detectar a seqüência ternária mais provável e em seguida usa o decodificador 2-BAC para separar a informação relativa aos usuários 1 e 2.

A saída do canal é a seqüência recebida

$$\mathbf{r} = \mathbf{r}_1^N = \{\mathbf{r}_1, \mathbf{r}_2, \dots, \mathbf{r}_k, \dots, \mathbf{r}_N\},$$

em que $\mathbf{r}_k = (r_k^{(0)}, r_k^{(1)}, \dots, r_k^{(n-1)})$. A variável aleatória $r_k^{(j)}$, $j = 0, \dots, n-1$, no instante de tempo k , é definida pela seguinte igualdade

$$r_k^{(j)} = x_k^{(j)} + q_k^{(j)}, \quad j = 0, \dots, n-1, \quad (3)$$

em que $q_k^{(j)}$ são amostras independentes de ruído, todas com a mesma variância σ^2 e média zero.

C. O Decodificador

O decodificador em questão (Figura 4), utiliza a decodificação iterativa [11] para detectar a seqüência ternária mais provável e em seguida usa o decodificador 2-BAC para separar a informação relativa aos usuários 1 e 2, utilizando para isto o par (C_1, C_2) de códigos de bloco unicamente decodificáveis para o 2-BAC.

O algoritmo aqui utilizado é o BCJR [8], [12] que faz uso da treliça para dois usuários definida na Seção II e calcula as razões de log-verossimilhança $\Lambda_1(u_k, d_k)$, $\Lambda_2(u_k, d_k)$ e $\Lambda_3(u_k, d_k)$ associadas ao par dos símbolos de informação (u_k, d_k) , relativos aos usuários 1 e 2, respectivamente.

$$\Lambda_1(u_k, d_k) = \log \frac{\mathbf{P}\{u_k = 1, d_k = 0 | \mathbf{r}\}}{\mathbf{P}\{u_k = 0, d_k = 0 | \mathbf{r}\}}, \quad (4)$$

$$\Lambda_2(u_k, d_k) = \log \frac{\mathbf{P}\{u_k = 1, d_k = 1 | \mathbf{r}\}}{\mathbf{P}\{u_k = 0, d_k = 0 | \mathbf{r}\}}, \quad (5)$$

$$\Lambda_3(u_k, d_k) = \log \frac{\mathbf{P}\{u_k = 0, d_k = 1 | \mathbf{r}\}}{\mathbf{P}\{u_k = 0, d_k = 0 | \mathbf{r}\}}, \quad (6)$$

em que $\mathbf{P}\{u_k = i, d_k = s | \mathbf{r}\}$, $i = 0, 1$, $s = 0, 1$, é a probabilidade *a posteriori* do par (u_k, d_k) de símbolos de informação.

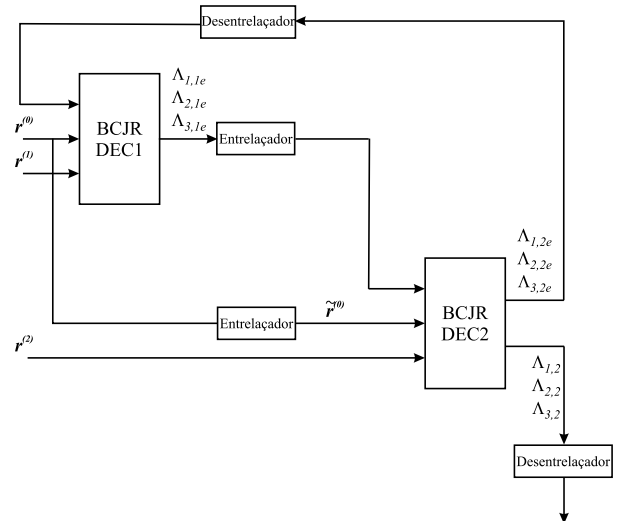


Fig. 5. O decodificador utiliza o princípio da decodificação iterativa e consiste de dois decodificadores componentes concatenados em série. É usado para detectar a seqüência ternária mais provável.

Verificando a Figura 4 e em especial o bloco relacionado à decodificação iterativa (MAP), suponha que a partir de agora ele consiste de dois decodificadores componentes concatenados em série, como pode ser visto na Figura 5.

Na entrada do primeiro decodificador BCJR, denotado por DEC1, tem-se as seqüências recebidas $\mathbf{r}^{(0)} = \{r_1^{(0)}, r_2^{(0)}, \dots, r_N^{(0)}\}$ e $\mathbf{r}^{(1)} = \{r_1^{(1)}, r_2^{(1)}, \dots, r_N^{(1)}\}$, em que $r_k^{(j)}$ foi definido em (3). DEC1 então produz as saídas suaves $(\Lambda_{1,1}(u_k, d_k), \Lambda_{2,1}(u_k, d_k), \Lambda_{3,1}(u_k, d_k))$, que são entrelaçadas e usadas para produzir estimativas das probabilidades *a priori* dos pares de seqüências de informação para o segundo decodificador BCJR, denotado por DEC2. A notação $\Lambda_{1,1}(u_k, d_k)$, $\Lambda_{2,1}(u_k, d_k)$, $\Lambda_{3,1}(u_k, d_k)$ é usada para denotar as saídas suaves $\Lambda_1(u_k, d_k)$, $\Lambda_2(u_k, d_k)$ e $\Lambda_3(u_k, d_k)$ respectivamente, associadas com DEC1.

Na entrada de DEC2 estão as seqüências recebidas $\tilde{\mathbf{r}}^{(0)}$ e $\mathbf{r}^{(2)} = \{r_1^{(2)}, r_2^{(2)}, \dots, r_N^{(2)}\}$. A seqüência $\tilde{\mathbf{r}}^{(0)}$ corresponde à seqüência $\mathbf{r}^{(0)}$ entrelaçada. DEC2 também produz saídas suaves $(\Lambda_{1,2}(u_k, d_k), \Lambda_{2,2}(u_k, d_k), \Lambda_{3,2}(u_k, d_k))$, cuja notação é usada para indicar que as saídas suaves $\Lambda_1(u_k, d_k)$, $\Lambda_2(u_k, d_k)$ e $\Lambda_3(u_k, d_k)$ estão associadas com DEC2. Estas saídas suaves são usadas para melhorar a estimativa das probabilidades *a priori* dos pares de seqüências (u_k, d_k) de informação na entrada de DEC1.

DEC2 estima as razões de log-verossimilhança $\Lambda_{1,2}(u_k, d_k)$, $\Lambda_{2,2}(u_k, d_k)$ e $\Lambda_{3,2}(u_k, d_k)$.

$\Lambda_{1,2e}(u_k, d_k)$, $\Lambda_{2,2e}(u_k, d_k)$ e $\Lambda_{3,2e}(u_k, d_k)$ são as informações extrínsecas para DEC2, que dependem das informações redundantes supridas pelos codificadores C_1 e C_2 . As informações extrínsecas de DEC2 são usadas como estimativas das probabilidades *a priori* para DEC1. $\hat{\Lambda}_{1,2e}(u_k, d_k)$, $\hat{\Lambda}_{2,2e}(u_k, d_k)$ e $\hat{\Lambda}_{3,2e}(u_k, d_k)$ correspondem, respectivamente, aos valores $\Lambda_{1,2e}(u_k, d_k)$, $\Lambda_{2,2e}(u_k, d_k)$ e $\Lambda_{3,2e}(0000u_k, d_k)$ desentrelaçados.

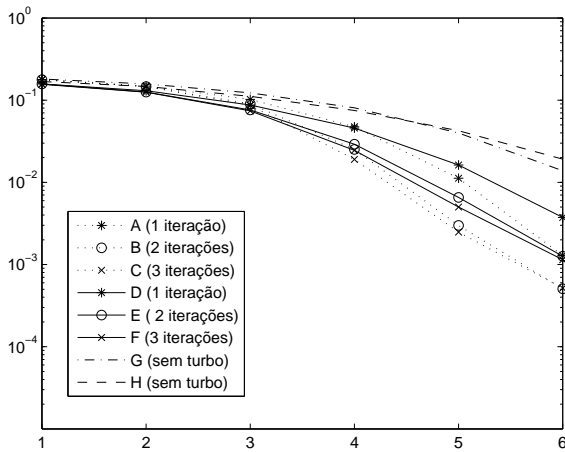


Fig. 6. Curvas relacionadas ao usuário 1. Os casos para os quais $C_1^- = C_1^+ = C_2^- = C_2^+$ têm matrizes geradoras polinomiais $G(D) = \left[1 \frac{1+D^2}{1+D+D^2}\right]$ estão ilustrados em: A, B, C e G; Os casos para os quais $C_1^- = C_1^+ = C_2^- = C_2^+$ têm matrizes geradoras polinomiais $G(D) = \left[1 \frac{D+D^2}{1+D+D^2}\right]$ estão ilustrados em: D, E, F e H.

IV. RESULTADOS DAS SIMULAÇÕES

Esta seção tem como objetivo apresentar resultados de simulações computacionais quando o esquema de concatenação ilustrado na Figura 2 é usado e também comparar as curvas relacionando a probabilidade de erro por bit versus relação sinal ruído para dois usuários, para o caso em que é usado apenas o algoritmo BCJR, e para o caso em que é utilizada a decodificação iterativa. Todas as implementações foram feitas através de simulações com a utilização da ferramenta MATLAB 6.5 [13]. É assumida a presença de ruído branco gaussiano aditivo. Em todas as curvas apresentadas, os códigos de bloco utilizados para os usuários 1 e 2 são, respectivamente, $C_1 = \{01, 10\}$ e $C_2 = \{00, 01, 11\}$. Para a decodificação iterativa é usado o entrelaçador de Berrou-Glavieux[1], [2] com comprimento 512. Em todos os casos investigados, como os códigos de bloco utilizados são sempre os mesmos, é comparado o efeito de alterar os códigos convolucionais (Figuras 6 a 13), isto é, compara-se o efeito de variar os codificadores convolucionais para $C_1^- = C_1^+$ e $C_2^- = C_2^+$, respectivamente. É importante observar que nos casos das Figuras 6 a 11, os codificadores convolucionais dos dois usuários são iguais, isto é, $C_1^- = C_1^+ = C_2^- = C_2^+$. Em relação as Figuras 12 e 13, os codificadores convolucionais dos dois usuários são diferentes, isto é $C_1^- = C_1^+$ diferentes de $C_2^- = C_2^+$. Em todos os casos apresentados (Figuras 6 a 13) verifica-se a vantagem do uso da decodificação iterativa em relação ao caso em que é usado apenas o algoritmo BCJR.

V. CONCLUSÕES

Foram usados códigos convolucionais com pequeno comprimento de restrição a fim de usufruir de uma menor complexidade computacional. Verifica-se que em praticamente todos os casos apresentados, três iterações são suficientes para

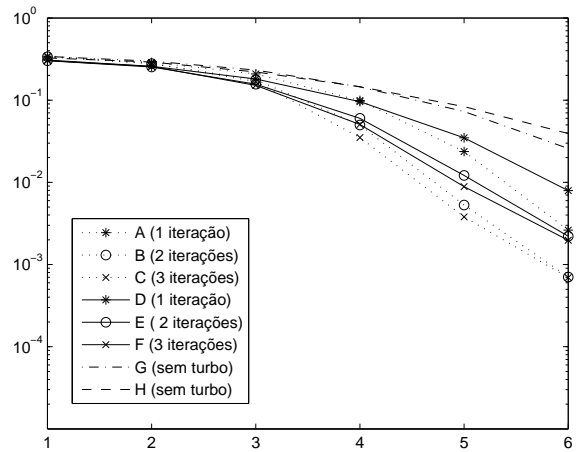


Fig. 7. Curvas relacionadas ao usuário 2. Os casos para os quais $C_1^- = C_1^+ = C_2^- = C_2^+$ têm matrizes geradoras polinomiais $G(D) = \left[1 \frac{1+D^2}{1+D+D^2}\right]$ estão ilustrados em: A, B, C e G; Os casos para os quais $C_1^- = C_1^+ = C_2^- = C_2^+$ têm matrizes geradoras polinomiais $G(D) = \left[1 \frac{D+D^2}{1+D+D^2}\right]$ estão ilustrados em: D, E, F e H.

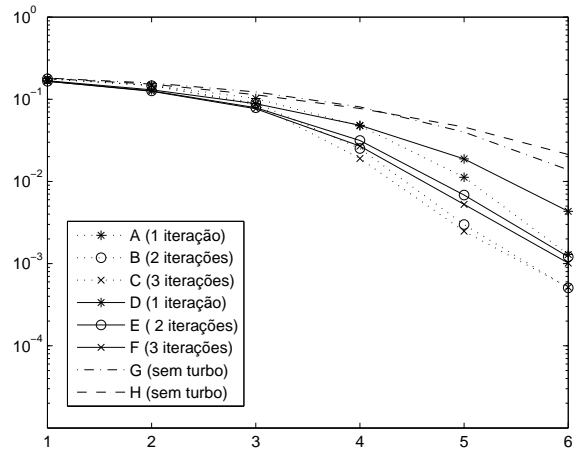


Fig. 8. Curvas relacionadas ao usuário 1. Os casos para os quais $C_1^- = C_1^+ = C_2^- = C_2^+$ têm matrizes geradoras polinomiais $G(D) = \left[1 \frac{1+D^2}{1+D+D^2}\right]$ estão ilustrados em: A, B, C e G; Os casos para os quais $C_1^- = C_1^+ = C_2^- = C_2^+$ têm matrizes geradoras polinomiais $G(D) = \left[1 \frac{D}{1+D+D^2}\right]$ estão ilustrados em: D, E, F e H.

conseguir a menor probabilidade de erro deste esquema. O caso em que os codificadores convolucionais do usuário 1 são diferentes dos codificadores convolucionais do usuário 2, também ilustram a vantagem de utilização de decodificação iterativa com uso do esquema da Figura 2.

VI. AGRADECIMENTOS

Valdemar C. da Rocha Jr. agradece ao Conselho Nacional de Desenvolvimento Científico e Tecnológico - CNPq, pelo apoio recebido através do Projeto 305226/2003-7.

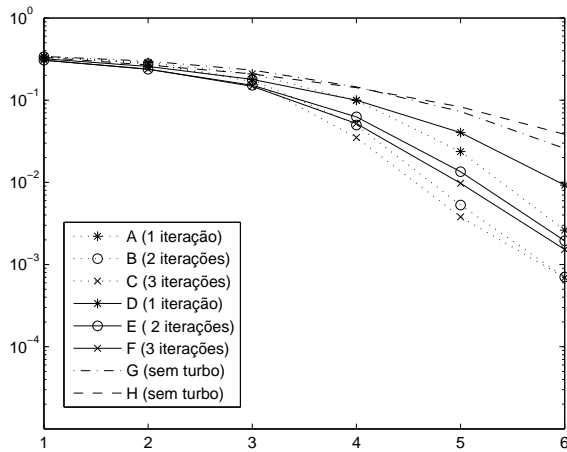


Fig. 9. Curvas relacionadas ao usuário 2. Os casos para os quais $C_1^- = C_1^+ = C_2^- = C_2^+$ têm matrizes geradoras polinomiais $G(D) = \begin{bmatrix} 1 & 1+D^2 \\ 1+D+D^2 & \end{bmatrix}$ estão ilustrados em: A, B, C e G; Os casos para os quais $C_1^- = C_1^+ = C_2^- = C_2^+$ têm matrizes geradoras polinomiais $G(D) = \begin{bmatrix} 1 & D \\ 1+D+D^2 & \end{bmatrix}$ estão ilustrados em: D, E, F e H.

REFERÊNCIAS

- [1] C. Berrou, A. Glavieux and P. Thitimajshima, "Near Shannon Limit, Error-Correcting Coding and Decoding: Turbo Codes", *IEEE International Conference on Communications (ICC'93)*, vol. 2/3, pp.1064-1071, May 1993.
- [2] C. Berrou and Alain Glavieux, "Near Optimum Error Correcting Coding And Decoding: Turbo-Codes", *IEEE Trans. Commun.*, vol. 44, no.10, pp.1261-1271, October 1996.
- [3] C. E. Shannon, "Two-way communication channels", in *Proc. 4th Berkeley Symp. Math. Stat. Prob.*, vol. 1, pp.611-644, 1961. Reprinted in *Key Papers in the Development of Information Theory.*, D. Slepian, Ed. New York, IEEE Press, pp.339-372, 1974.
- [4] H. A. Cabral *Codificação para Canal de Acesso Múltiplo Síncrono*. Recife, Brasil, 1994. Dissertação (Mestrado em Engenharia Elétrica)-Departamento de Eletrônica e Sistemas, UFPE.
- [5] M. L. M. G. Alcoforado, *Implementação Algorítmica de Códigos Lineares para o Canal Aditivo com Dois Usuários Binários*. Recife, Brasil, 1999. Dissertação (Mestrado em Engenharia Elétrica)- Departamento de Eletrônica e Sistemas, UFPE.
- [6] V. C. da Rocha Jr. and M.L.M.G. Alcoforado, "Trellis code construction for the 2-user binary adder channel", in the Proceedings of 11th International Conference on Telecommunications, 1-5 August 2004, Fortaleza, Ceará, Brazil, Editors J. Neuman and P. Dini, Springer Verlag.
- [7] V. C. da Rocha Jr. and M.L.M.G. Alcoforado, "Uniquely decodable trellis codes for the two user binary adder channel", *International Symposium on Information Theory and its Applications*, 10-13 October 2004, Parma, Italy.
- [8] M. L. M. G. Alcoforado, V. C. da Rocha Jr. and G. Markarian "Turbo Convolutional Codes for the Binary Adder Channel" *VIII International Symposium on Communication Theory and its Application*, July Amble-side, UK, 2005.
- [9] R. Peterson and D. J. Costello, Jr., "Binary convolutional codes for a multiple-access channel", *IEEE Trans. on Info. Theory*, v. 25, Number 1, p.101-105, January 1979.
- [10] S. Lin and D. Costello Jr., *Error Control Coding: Fundamentals and Applications*, Prentice-Hall Inc., Englewood Cliffs, New Jersey, USA, 1983.
- [11] J. Hagenauer, "Iterative Decoding of Binary Block and Convolutional Codes", *IEEE Trans. on Inform. Theory*, vol. 42, no.2, pp.429-445, March 1996.
- [12] L. R. Bahl, J. Cocke, F. Jelinek and J. Raviv, "Optimal decoding of linear codes for minimizing symbol error rate", *IEEE Trans. Inform. Theory*, vol. IT-20, pp.284-287, March 1974.
- [13] HANSELMAN, D.; LITTLEFIELD, B. *Matlab, Guia do Usuário*. São Paulo, Brasil: Makron Books, 1999.

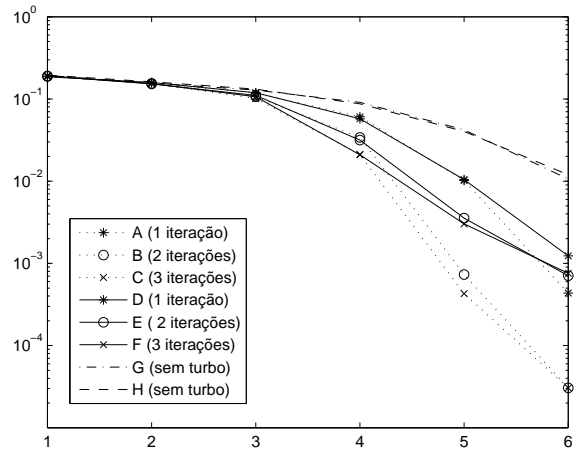


Fig. 10. Curvas relacionadas ao usuário 1. Os casos para os quais $C_1^- = C_1^+ = C_2^- = C_2^+$ têm matrizes geradoras polinomiais $G(D) = \begin{bmatrix} 1 & 1+D+D^3 \\ 1+D^2+D^3 & \end{bmatrix}$ estão ilustrados em: A, B, C e G; Os casos para os quais $C_1^- = C_1^+ = C_2^- = C_2^+$ têm matrizes geradoras polinomiais $G(D) = \begin{bmatrix} 1 & 1+D+D^2+D^3 \\ 1+D+D^3 & \end{bmatrix}$ estão ilustrados em: D, E, F e H.

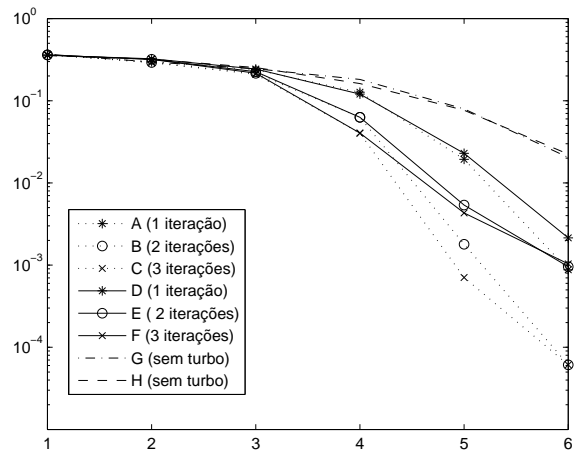


Fig. 11. Curvas relacionadas ao usuário 2. Os casos para os quais $C_1^- = C_1^+ = C_2^- = C_2^+$ têm matrizes geradoras polinomiais $G(D) = \begin{bmatrix} 1 & 1+D+D^3 \\ 1+D^2+D^3 & \end{bmatrix}$ estão ilustrados em: A, B, C e G; Os casos para os quais $C_1^- = C_1^+ = C_2^- = C_2^+$ têm matrizes geradoras polinomiais $G(D) = \begin{bmatrix} 1 & 1+D+D^2+D^3 \\ 1+D+D^3 & \end{bmatrix}$ estão ilustrados em: D, E, F e H.

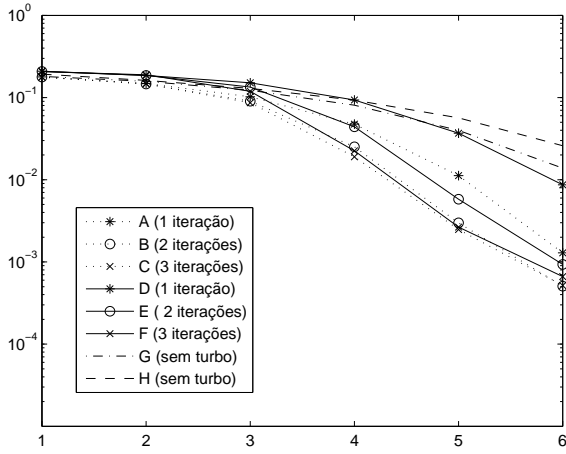


Fig. 12. Curvas relacionadas ao usuário 1. Os casos para os quais $C_1^- = C_1^+ = C_2^- = C_2^+$ têm matrizes geradoras polinomiais $G(D) = \begin{bmatrix} 1 & \frac{1+D^2}{1+D+D^2} \end{bmatrix}$ estão ilustrados em: A, B, C e G; Os casos para os quais $C_1^- = C_1^+$ têm matrizes geradoras polinomiais $G(D) = \begin{bmatrix} 1 & \frac{1+D^2}{1+D+D^2} \end{bmatrix}$ e $C_2^- = C_2^+$ têm matrizes geradoras polinomiais $G(D) = \begin{bmatrix} 1 & \frac{D+D^2}{1+D+D^2} \end{bmatrix}$ estão ilustrados em: D, E, F e H.

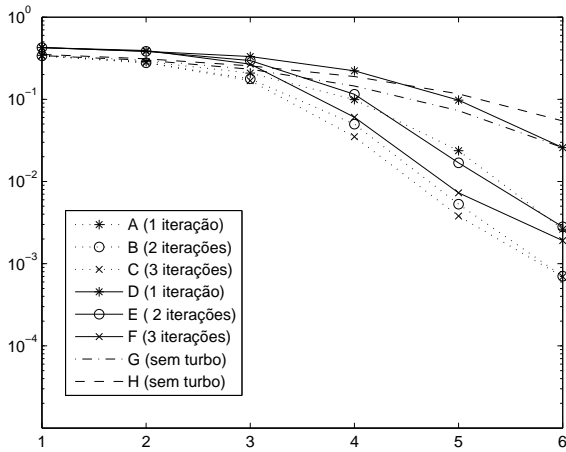


Fig. 13. Curvas relacionadas ao usuário 2. Os casos para os quais $C_1^- = C_1^+ = C_2^- = C_2^+$ têm matrizes geradoras polinomiais $G(D) = \begin{bmatrix} 1 & \frac{1+D^2}{1+D+D^2} \end{bmatrix}$ estão ilustrados em: A, B, C e G; Os casos para os quais $C_1^- = C_1^+$ têm matrizes geradoras polinomiais $G(D) = \begin{bmatrix} 1 & \frac{1+D^2}{1+D+D^2} \end{bmatrix}$ e $C_2^- = C_2^+$ têm matrizes geradoras polinomiais $G(D) = \begin{bmatrix} 1 & \frac{D+D^2}{1+D+D^2} \end{bmatrix}$ estão ilustrados em: D, E, F e H.